

3次元 홀로그램을 이용한 光연결 구현時 광굴절 매질內의 공간 저하場에 관한 연구(I)

正會員 白 雲 植*

A Study on Photorefractive Space-Charge Fields for Volume Holographic Interconnections

Woon Sik BAEK* Regular Member

要 約 本 논문에서는 광교환(photon switching) 및 광신경회로(optical neural network) 등에서 핵심 기술로 대두되고 있는 광연결(optical interconnections)을 광굴절 매질內의 3次元(부피) 홀로그램을 이용해서 실현하는 방안을 제시하였으며, 광굴절 현상을 설명하는 Kukhtarev의 비선형 미분 방정식으로부터 각 광연결에 해당하는 광굴절 공간 저하場(photorefractive space charge field)의 구조에 금수성을 유도하였다.

ABSTRACT Volume holographic interconnection scheme for photonic switching and optical neural network has been presented. Theoretical formulation for photorefractive space-charge fields generated by the illumination of multiple noncollinear plane light interference patterns was achieved by substituting the complex Fourier series of the space-charge field and free carrier density into Kukhtarev's nonlinear differential equations.

I. 序 論

정보 통신 분야에서 光學이 도입, 응용되는 이유는 크게 두가지의 빛의 특성에 기인한다. 즉, 빛의 넓은 대역폭과 빠른 정보 처리속도를 유용하게 써서 금속하게 늘어나는 정보량을 효율적으로 처리하고자 함이다. 특히, 최근의 통신 수요는 기존의 전화망을 이용한 음성 통화, 팩스 밀리 등은 물론, 전용망을 통한 컴퓨터 간의 통신으로 확대 일로에 있을 뿐 아니라, 향후에는 차세대 팩시밀리, CATV, HDTV 등의 단말기 보급과 함께 영상 정보(정지 화상 및 動 화상)에 까지 그 수요가 늘어갈 전망이다. 이와같이 폭주하는(유선)통신 需要에 대처하기 위해서는 우선, 통신 선로를 광케이블로 대체하고, 기존의 전자교환 방식을 광교환 방식으로 전환하는 한편, 효율적인 광전송 시스템을 채택해야 할 것으

로 사료된다. NTT의 Himeno等은 최근의 논문에서 광교환 채이회로에 필요한 기능을 高速의 단순기능(simple functions)과 低速의 지적기능(intelligent functions)의 두 범주로 분류하고, 電子기술(electronics)이 後者の 지적기능을 수행하는데 単원한 반면, 前자의 고속 단순기능을 수행하는데에는 光學기술(optical technology)이 쓰일 것으로 예상하고 있다.¹⁾ 이는 비단, 광교환 채이회로에만 국한되는 것이 아니라 통신全 분야에서의 광학 기술의 역할에 小唆하는 바가 크다. 이와같은 맥락에서 광연결 기술은 머지않은 장래에 실용화가 기대되는 광교환 기술에서 그 중요성이 한층 부각되고 있으며, 최근 관심이 고조되고 있는 광컴퓨팅 및 광신경회로망에서 요구되는 대량의 연결 조직의 실현에 필수적인 핵심 기술이다.^{2,3)}

本 논문에서는 광연결을 실현하기 위한 여러 가지 접근 방법 중 특히 광굴절 결정체(photorefractive crystal)내에 저장된 3차원 홀로그램을 이용해 일련단과 출력단의 통신 채널을 연결하는

*現代電子産業株式會社 産業電子研究所
HYUNDAI Industrial Electronics R & D Center
論文番號 : 91-74

방법을 제시하고, 각 광인선에 해당하는 생광질 결정체내에 형성된 회절 각자(diffraction grating)의 생성 메카니즘을 규명하기 위해서 Kukhtarev⁶의 비선형 미분방정식으로부터 공간적 하場(space-charge field)의 푸리에(Fourier)급수解를 유도하였다.

II. 3차원(부피) 홀로그램에 의한 광연결

그림 1에서 생광질 결정체내에 저장된 부피 홀로그램에 의해 입리단의 점 i와 출리단의 점 o가 (1 대 1) 광인결되며 메카니즘을 보이고 있다.⁵⁾

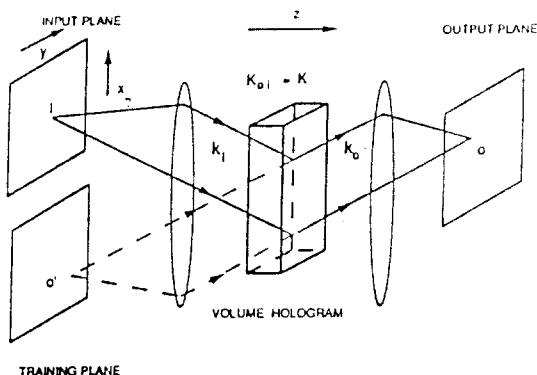


그림 1. 생광질 결정체 내에 저장된 부피 홀로그램에 의한 광연결의 구현

입력 마스크面의 점 i와 출력 마스크面의 점 o'에서 나온 빛은 간접 무너를 일으키, 생광질 결정체 内에서 회절 각자(diffraction grating)을 형성하게 된다. 일단 이렇게 저장된 회절 각자(혹은 홀로그램)는 출력 마스크面으로부터의 빛을 차단한 후, 입력 마스크面의 기준 빔(reference beam)만으로 회절 현상을 일으키 출력 마스크面의 점 o'의 영상을 점 o에 재현한다. 즉, 점 i와 o'가 생광질 결정 内의 회절 각자에 의해 광연결되었음을 보여준다.

以上은 입리단과 출리단의 1 대 1 광연결의

구현 예이지만, 입출력 마스크面 上의 광점(optical spot)의 수를 증가시킴으로써 $n \times n$ 개의 입출력 채널간의 연결망을 실현시킬 수 있다. 즉, 그림 2에 보인 바와 같이 입리단의 한 채널 1과 출리단의 모든 채널로 broadcasting되는 형태를 취함으로 large fan-out의 성향이 가능하다.

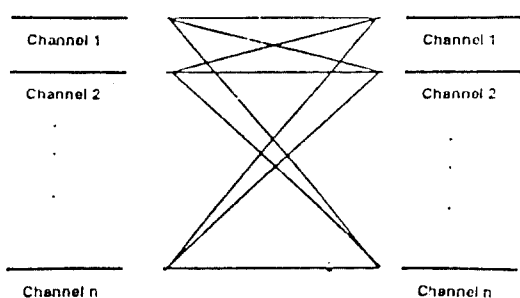


그림 2. 입출력 채널수의 $n \times n$ 연결망

또한, 생광질 결정체 内에 저장된 회절 각자(그림 1에서 백터 K로 표시)의 크기가 입사광빔의 세기에 비례하는 특성이 밝히짐으로써 가중치 인경의 실현은 물론 세이 가동성이 제작된다. 그러나, 대량의 많은 주의 회절각자(광장, 홀로그램)를 사용하는 부피의 배경 内에 기록할 경우 각 광인선에 해당하는 회절각자 간에混信(crosstalk)이 일어날 가능성이 높다. 이러한 혼신을 최소화하기 위한 입출력 마스크雙의 생점의 좌석配置(즉, nondegenerate sampling grids) 등이 보고되고 있다.⁷⁾

생광질 결정체(photoconductive crystal)와 같은 3차원 배설대에 레이저의 간접무너 배탄을 일으켜 배설대에 회절 각자를 생성해하는 원리를 다음과 같다. 즉, 입사된 빛의 간접무너中 빛은 부분에 위치한 전자는傳導帶(conduction band)을 勵起되고, 전도대에서 漂移(drift), 확산(diffusion), 광전 효과(photovoltaic effect)등의 전도 메카니즘에 의해 이동하게 되며, 모니(속을 압출)와 같은 물질을 에너지대에 재설합한다. 전자가 간접무너의 빛을 부분에 머무는 동안에는

이러한 cycle을 반복하게 되며, 궁극적으로는 간섭무늬의 어두운 부분에 갇히게 된다. 이러한 과정을 통해 전하들이 입사된 빛의 간섭무늬 패턴과 흡사하게 재분포하게 되고, 재배열된 전하에 의해 유도된 공간 전하場(space-charge field)이 전기광학 효과(electro optic effect)를 통해 매질의 굴절율을 변화하게 된다. 그리고로, 설정체내에 기록된(혹은, 저장된) 회절 격자 (diffraction grating)는 입사된 간섭무늬 패턴에 의한 매질내 굴절율의 변화형태를 의미한다.

III. 광굴절 공간 전하场(Photorefractive space-charge fields)

광굴절 매질내에 홀로그램을 생성케 하는 공간 전하场은 Kukhtarev의 물성 방정식의 해로서 일어진다. Kukhtarev의 비선형 미분 방정식을 풀기 위한 종래의 접근 방법으로는 여러 종류의假定(예를 들면, short-transport length approximation⁹, small modulation index approximation^{9,10}, linear recombination rate approximation¹¹ 등) 아래 선형화를 시도함으로써 공간 전하场의 해를 구하는 방법들이 있다. 본 논문에서는 공간 전하场과 자유전자 밀도의 복소 무리에 금수(complex fourier series)를 금수해로 채택해서 Kukhtarev 방정식에 대입하고 써 복수계의 간섭 무늬 패턴을 광굴절 결정체에 입사시킬 때 생성되는 공간 저하场의 전자에 상분에 관한 표현식을 유도하였다.

1. Kukhtarev의 비선형 미분 방정식

해석의 간편화를 위해 두개의 간섭 무늬 패턴이 광굴절 결정체내에 입사한 경우를 생각해 보면, 입사한 전체 빛의 세기는 다음과 같이 표현할 수 있다.

$$I = \sum_{\alpha=1}^2 I_\alpha \{ 1 + \frac{1}{2} m_\alpha [e^{j(K_\alpha x + \delta\omega_\alpha t + \phi_\alpha)} + e^{-j(K_\alpha x + \delta\omega_\alpha t + \phi_\alpha)}] \} \quad (3.1)$$

여기서 I_α 는 전체 기록 빛의 세기이고, m_α 는 변조 지수, K_α 는 간섭 무늬 패턴의 파동 벡터, ϕ_α 는 두 기록 빛의 위상차, 그리고 $\delta\omega_\alpha$ 는 두 기록 빛간의 편이 주파수(detuning frequency)로서 위의 간섭 무늬의 표현식이 정지 패턴은 물론, 動 간섭무늬 패턴(moving light interference pattern)^{10,12}을 포함함을 의미한다.

광굴절 현상을 記述하는 Kukhtarev의 미분 방정식은 다음과 같다.

$$\frac{\partial n}{\partial t} = \frac{\partial N_D^+}{\partial t} - \frac{1}{e} \frac{\partial J}{\partial x} \quad (3.2)$$

$$\frac{\partial N_D^+}{\partial t} = (sI + \beta)(N_D - N_D^+) - \gamma n N_D^+ \quad (3.3)$$

$$\mathbf{J} = e \mu n \mathbf{E} - \mu k T \frac{\partial n}{\partial x} + p \hat{I} \mathbf{e}_c \quad (3.4)$$

$$\epsilon \frac{\partial E}{\partial x} = \epsilon (n + N_A - N_D^+) \quad (3.5)$$

여기서, n 은 전자 밀도, N_D 는 도나 농도, N_A 는 억 앤터 농도, \mathbf{J} 는 전류 밀도, \mathbf{E} 는 이온화 도나 농도, \mathbf{E} 는 전장, e 는 전하, s 는 photoionization의 단면적, β 는 일 생성율, γ 는 재결합 상수, μ 는 이동도, k 는 볼츠만 상수, T 는 온도, ϵ 는 유전율, p 는 光電(photovoltaic) 계수, 그리고 \mathbf{e}_c 는 광전 효과의 방향을 나타내는 단위벡터이다. 또한, 식(3.4)의 \hat{I} 는 다음과 같이 정의된다.

$$\hat{I} = \sum_{\alpha=1}^2 I_\alpha \{ 1 + \frac{1}{2} m_\alpha [e^{j(K_\alpha x + \delta\omega_\alpha t + \phi_\alpha + x_\alpha)} + e^{-j(K_\alpha x + \delta\omega_\alpha t + \phi_\alpha + x_\alpha)}] \} \quad (3.6)$$

이기서

$$m_\alpha = \frac{m_\alpha}{\sqrt{1 + (K_{\alpha x} L_{ph})^2}} \quad \alpha = 1, 2 \quad (3.7)$$

$$\chi_{\alpha} = - \tan^{-1}(K_{\alpha x} L_{ph}) \quad \alpha = 1, 2 \quad (3.8)$$

이고, 모든 억셉터는 이온화 된 것으로 가정한다.

Kukhtarev의 4개의 미분 방정식은 ω 와 $N_D^{1/2}$ 를 소거하므로써 2개의 비선형 미분 방정식으로 줄일 수 있다.¹³⁾ 즉, 식(3.5)과 부터 $N_D^{1/2}$ 를 식(3.3)에 대입하고로써

$$\begin{aligned} \frac{\partial n}{\partial t} - \frac{\epsilon}{e} \frac{\partial}{\partial t} \frac{\partial E}{\partial x} &= (sI + \beta)(N_D - n - N_A \\ &+ \frac{\epsilon}{e} \frac{\partial E}{\partial x}) - \gamma n (n + N_A - \frac{\epsilon}{e} \frac{\partial E}{\partial x}) \end{aligned} \quad (3.9)$$

이 일치며, 식(3.4)와 (3.5)를 식(3.2)에 대입 하므로써

$$\begin{aligned} e \mu n \frac{\partial E}{\partial x} + e \mu E \cdot \left(\frac{\partial n}{\partial x} \right) - \mu k T \nabla^2 n + p \frac{\partial \hat{f}}{\partial x} \\ = -\epsilon \frac{\partial}{\partial t} \frac{\partial E}{\partial x} \end{aligned} \quad (3.10)$$

를 얻을 수 있다.

2. 공간 저하場의 푸리에 급수 전개

비선형 미분 방정식(3.9)과 (3.10)의 급수解로서, 공간 저하場과 자유전자 밀도의 복수 푸리에 급수를 채택하면

$$E = \sum_{l_1=-\infty}^{\infty} \sum_{l_2=-\infty}^{\infty} \tilde{E}_l(t) \epsilon_l e^{j l_1 \epsilon} \quad (3.11)$$

$$n = \sum_{l_1=-\infty}^{\infty} \sum_{l_2=-\infty}^{\infty} \bar{n}_l(t) \epsilon_l e^{j l_1 \epsilon} \quad (3.12)$$

이고, 여기서 \mathbf{l} 은 푸리에 성분의 차수를 나타내는 l_1 과 l_2 의 성분을 갖는 2차원 정수 벡터이고, \tilde{E}_l 과 \bar{n}_l 은 각각 공간 저하場과 자유전자 밀도의 푸리에係數이다.

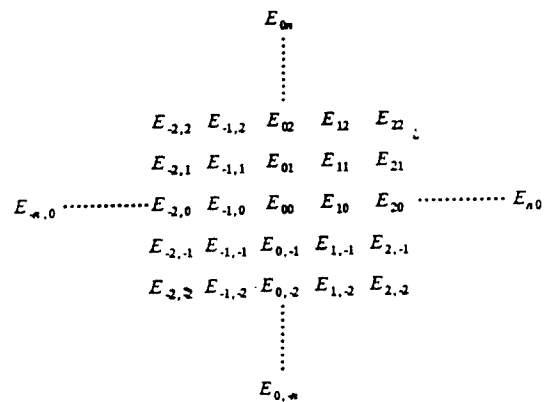


그림 3. 공간 저하場의 2차원 푸리에 級數 전개

그림 3에서 공간 저하場의 푸리에 계수를 2차원으로 전개하였으며, E_{10} 는 하나의 간접무늬 패턴에 의해 생성된 공간 저하場의 기본 푸리에 성분(fundamental Fourier component)을 나타내고 E_{00} 는 다른 간접무늬 패턴에 의한 기본 푸리에 성분, 그리고 $E_{20}, E_{02}, E_{11}, E_{1,-1}$ 등은 2차 푸리에 성분들을 나타낸다. 여기서 $E_{-10}, E_{0,-1}, E_{-2,0}, E_{0,-2}, E_{-1,-1}$ 은 $E_{10}, E_{01}, E_{20}, E_{02}, E_{11}$ 의 복소共에 입에 유의할 필요가 있다.

3. 공간 저하場의 解

공간 저하場과 자유전자 밀도의 급수解와 식(3.1)을 식(3.9)에 대입하면 다음과 같이 얻어진다.

$$\begin{aligned} j \bar{n}_l(\mathbf{l} \cdot \delta \omega) + \frac{\partial}{\partial t} \bar{n}_l + \frac{\epsilon}{e} (\tilde{E}_l \cdot \mathbf{K}_l) (\mathbf{l} \cdot \delta \omega) \\ - j \frac{\epsilon}{e} [(\frac{\partial}{\partial t} \tilde{E}_l) \cdot \mathbf{K}_l] \\ = \tilde{I}_l^{(1)} + j \frac{\epsilon}{e} \sum_{r=-\infty}^{\infty} \tilde{I}_r^{(2)} \tilde{E}_{l-r} \mathbf{K}_{l-r} - \sum_{r=-\infty}^{\infty} \tilde{I}_r^{(2)} \bar{n}_{l-r} \\ - \gamma \sum_{r=-\infty}^{\infty} \bar{n}_{l-r} \bar{n}_r - \gamma N_A \bar{n}_l \\ + j \gamma \frac{\epsilon}{e} \sum_{r=-\infty}^{\infty} \bar{n}_{l-r} (\tilde{E}_r \cdot \mathbf{K}_r) \end{aligned} \quad (3.13)$$

여기서

$$\hat{I}_l^{(1)} = \begin{cases} [s(I_1 + I_2) + \beta](N_D - N_A) & \text{when } l = (0,0) \\ sI_1(N_D - N_A) \frac{m_1}{2} & \text{when } l = (\pm 1,0) \\ sI_2(N_D - N_A) \frac{m_2}{2} & \text{when } l = (0,\pm 1) \\ 0 & \text{otherwise,} \end{cases}$$

$$\hat{I}_l^{(3)} = \begin{cases} p I_1 K_{1x} (\pm) \frac{m_1}{2} e^{j\chi_1} & \text{when } l = (\pm 1,0) \\ p I_2 K_{2x} (\pm) \frac{m_2}{2} e^{j\chi_2} & \text{when } l = (0,\pm 1) \\ 0 & \text{otherwise,} \end{cases}$$

$$\mathbf{K}_l = I_1 \mathbf{K}_1 + I_2 \mathbf{K}_2$$

이 고, $\mathbf{r} = (r_1, r_2) \in \mathbb{R}^2$, $\mathbf{l} = (l_1, l_2)$ 와 같은 2차원 정수 벤터 이다.

식(3.13)과 (3.14)를 정규화(normalization) 하면,

$$\hat{I}_l^{(2)} = \begin{cases} s(I_1 + I_2) + \beta & \text{when } l = (0,0) \\ sI_1 \frac{m_1}{2} & \text{when } l = (\pm 1,0) \\ sI_2 \frac{m_2}{2} & \text{when } l = (0,\pm 1) \\ 0 & \text{otherwise} \end{cases}$$

이고, 같은 방법으로, 급수解일 식(3.11)과 (3.12)를 식(3.6)과 함께 식(3.10)에 대입하면,

$$\begin{aligned} j \epsilon \mu \sum_{r=-\infty}^{\infty} \bar{n}_{l,r} (\bar{\mathbf{E}}_r \cdot \mathbf{K}_r) + j \epsilon \mu \sum_{r=-\infty}^{\infty} \bar{n}_{l,r} (\bar{\mathbf{E}}_r \cdot \mathbf{K}_{l-r}) \\ + \mu k T \bar{n}_l (\mathbf{K}_l \cdot \mathbf{K}_l) + j \hat{I}_l^{(3)} \\ = \epsilon (\bar{\mathbf{E}}_l \cdot \mathbf{K}_l) (\mathbf{l} \cdot \delta \omega) - j \epsilon [(\frac{\partial}{\partial t} \bar{\mathbf{E}}_l) \cdot \mathbf{K}_l] \quad (3.14) \end{aligned}$$

이 되고, 여기서 $l_1=0$ 및 $l_2=0$ 인 경우는 세로 되우다.

$$\begin{aligned} j \sum_{r=-\infty}^{\infty} \bar{n}_{l,r} (\mathbf{w}_r \cdot \mathbf{N}_r) + j \sum_{r=-\infty}^{\infty} \bar{n}_{l,r} (\mathbf{w}_r \cdot \mathbf{N}_{l-r}) \\ = -(\frac{E_D}{E_Q}) u_l (N_l \cdot N_l) - j (\frac{E_M}{E_Q}) \frac{\hat{I}_l^{(3)}}{\epsilon \gamma N_A^2} \\ + (\frac{E_M}{E_Q}) (\mathbf{w}_l \cdot \mathbf{N}_l) (\mathbf{l} \cdot \mathbf{y}) \\ - j (\frac{E_M}{E_Q}) [(\frac{\partial}{\partial t} \mathbf{w}_l) \cdot \mathbf{N}_l] \quad (3.15) \end{aligned}$$

$$\begin{aligned} j \sum_{r=-\infty}^{\infty} \bar{n}_{l,r} (\mathbf{w}_r \cdot \mathbf{N}_r) + j \sum_{r=-\infty}^{\infty} \bar{n}_{l,r} (\mathbf{w}_r \cdot \mathbf{N}_{l-r}) \\ = -(\frac{E_D}{E_Q}) u_l (N_l \cdot N_l) - j (\frac{E_M}{E_Q}) \frac{\hat{I}_l^{(3)}}{\epsilon \gamma N_A^2} \\ + (\frac{E_M}{E_Q}) (\mathbf{w}_l \cdot \mathbf{N}_l) (\mathbf{l} \cdot \mathbf{y}) \\ - j (\frac{E_M}{E_Q}) [(\frac{\partial}{\partial t} \mathbf{w}_l) \cdot \mathbf{N}_l] \quad (3.16) \end{aligned}$$

이) 일어지며, 여기서

$$\begin{aligned} \mathbf{w}_l &= \frac{\tilde{\mathbf{E}}_l}{E_Q}, \quad u_l = \frac{n_l}{N_A}, \quad \mathbf{y} = \left(\frac{\delta\omega_1}{\gamma N_A}, \frac{\delta\omega_2}{\gamma N_A} \right), \\ \mathbf{N}_l &= \frac{\mathbf{K}_1 \mathbf{K}_1 + \mathbf{K}_2 \mathbf{K}_2}{\mathbf{K}_1 + \mathbf{K}_2}, \quad T = \gamma N_A t, \\ E_Q &= \frac{e N_A}{\epsilon(K_1 + K_2)}, \quad E_D = \frac{k T (K_1 + K_2)}{e}, \\ E_M &= \frac{\gamma N_A}{\mu(K_1 + K_2)}, \end{aligned} \quad (3.17)$$

이고, w_l 와 u_l 은 각각 정규화된 공간 전하장과 자유전자 밀도이며, \mathbf{y} 는 정규화된 偏移 角주파수 벡터이다.

식(3.15)와 (3.16)을 정리하면,

$$\begin{aligned} u_l [1 + j(\mathbf{l} \cdot \mathbf{y})] + \frac{\partial}{\partial T} u_l + (\mathbf{w}_l \cdot \mathbf{N}_l) (\mathbf{l} \cdot \mathbf{y}) \\ - j \left[\left(\frac{\partial}{\partial T} \mathbf{w}_l \right) \cdot \mathbf{N}_l \right] \\ = P_l^{(1)} - \sum_{r=-\infty}^{\infty} P_r^{(2)} [u_{l-r} - j(\mathbf{w}_{l-r} \cdot \mathbf{N}_{l-r})] \\ - \sum_{r=-\infty}^{\infty} u_{l-r} [u_r - j(\mathbf{w}_r \cdot \mathbf{N}_r)] \end{aligned} \quad (3.18)$$

그러나,

$$\begin{aligned} -j u_l (\mathbf{N}_l \cdot \mathbf{N}_l) \left(\frac{E_D}{E_Q} \right) + [P_l^{(3)} + \left(\frac{\partial}{\partial T} \mathbf{w}_l \right) \cdot \mathbf{N}_l \\ + j(\mathbf{w}_l \cdot \mathbf{N}_l) (\mathbf{l} \cdot \mathbf{y})] \left(\frac{E_M}{E_Q} \right) \\ = - \sum_{r=-\infty}^{\infty} u_{l-r} \mathbf{w}_r \cdot (\mathbf{N}_r + \mathbf{N}_{l-r}) \\ = - \sum_{r=-\infty}^{\infty} u_{l-r} (\mathbf{w}_r \cdot \mathbf{N}_l) \end{aligned} \quad (3.19)$$

이) 일어지며, 여기서

$$P_l^{(1)} = \frac{\tilde{\mathbf{I}}_l^{(1)}}{\gamma N_A^2}, \quad P_l^{(2)} = \frac{\tilde{\mathbf{I}}_l^{(2)}}{\gamma N_A^2}, \quad P_l^{(3)} = \frac{\tilde{\mathbf{I}}_l^{(3)}}{e \gamma N_A^2} \quad (3.20)$$

가 된다.

그러므로, 식 (3.19)로부터 공간 전하장의 시간에 관한 도함수(time derivative)가 다음과 같이 일어진다.

$$\begin{aligned} \frac{\partial}{\partial T} \mathbf{w}_l &= \frac{1}{(\mathbf{e}_l \cdot \mathbf{N}_l)} \left[-P_l^{(3)} + j \left(\frac{E_D}{E_M} \right) (\mathbf{N}_l \cdot \mathbf{N}_l) u_l \right. \\ &\quad \left. - j(\mathbf{l} \cdot \mathbf{y}) (\mathbf{e}_l \cdot \mathbf{N}_l) u_l \right. \\ &\quad \left. - \sum_{r=-\infty}^{\infty} \left(\frac{E_Q}{E_M} \right) u_{l-r} \mathbf{w}_r (\mathbf{e}_r \cdot \mathbf{N}_l) \right] \end{aligned} \quad (3.21)$$

한편, 식(3.21)을 (3.18)에 대입 하므로 쌍자유전자 밀도의 시간에 관한 도함수의 표현식이 얻어진다.

$$\begin{aligned} \frac{\partial}{\partial T} u_l &= P_l^{(1)} - j P_l^{(3)} - \left[1 + \left(\frac{E_D}{E_M} \right) (\mathbf{N}_l \cdot \mathbf{N}_l) \right. \\ &\quad \left. + j(\mathbf{l} \cdot \mathbf{y}) \right] u_l - \sum_{r=-\infty}^{\infty} \left\{ u_{l-r} (P_r^{(2)} + u_r) \right. \\ &\quad \left. - j P_r^{(2)} (\mathbf{e}_{l-r} \cdot \mathbf{N}_{l-r}) \mathbf{w}_{l-r} + j \left[\left(\frac{E_Q}{E_M} \right) \right. \right. \\ &\quad \left. \left. (\mathbf{e}_r \cdot \mathbf{N}_l) - (\mathbf{e}_r \cdot \mathbf{N}_r) \right] u_{l-r} \mathbf{w}_r \right\} \end{aligned} \quad (3.22)$$

그러나, 위식(3.22)는 $l_1=0$ 과 $l_2=0$ 인 경우에는 해외되며, 자유전자 밀도의 dc 성분의 시간에 관한 도함수는 식(3.18)로부터 다음과 같이 유도된다.

$$\begin{aligned} & \frac{\partial}{\partial T} u_{\infty} \\ &= P_{00}^{(1)} - u_{00} - \sum_{r=-\infty}^{\infty} P_r^{(2)} [u_{-r} - j(\mathbf{w}_r \cdot \mathbf{N}_r)] \\ & \quad - \sum_{r=-\infty}^{\infty} u_{-r} [u_r - j(\mathbf{w}_r \cdot \mathbf{N}_r)] \end{aligned} \quad (3.23)$$

以上에서 유도한 공간 전하장 및 자유전자 밀도의 수식에 상분에 관한 formulation [식(3.21),(3.22),(3.23)]으로부터 광굴절 결정체 내에 레이저의 간섭무늬 패턴을 입사한 경우, 起因되는 광굴절 공간 전하장(photorefractive space-charge fields)의 정상 상태(steady state)에서의 様態 아니라 시간적 변화(temporal behavior)까지 조사할 수 있게 되었다. 단지, 식(3.21)~(3.23)의 우변에 무한급수항이 존재함으로 광굴절 공간 전하장의 解(closed form solution 혹은 수치解)를 구하기 위해선, 어떠한 적절한 조건下에서 高次 하모닉(harmonics) 항을 제거(truncate)하거나 하는 것이 관건이라 하겠다.²¹⁾

IV. 結

本 논문에서는 광교환(photonic switching) 및 광신경회로망(optical neural network) 등에서 해설 기술로 대두되고 있는 광연결(optical interconnections)을 광굴절 매질내의 3次元(부피) 흐름그레프를 이용해서 실현하는 방안을 제시하였으며, 광굴절 현상을 설명하는 Kukhtarev의 비선형 미분 방정식으로부터 광굴절 공간 전하장(photorefractive space charge field)의 급수解를 유도하였다. Ⅲ章에서 유도된 광굴절 공간 전하장에 관한 formulation(식(3.21),(3.22),(3.23))은 광굴절 매질내 전자의 傳導 베카니즘中 亂류(drift), 확산(diffusion)은 물론 광전 효과(photovoltaic effect)를 포함하는 것으로 BSO와 같은 paraelectrics는 물론 LiNbO₃와 같은 ferroelectric 매질에도 적용 가능하다.

광연결 구현에 고려해야 할 조건(예를 들면, 광교환에 응용될 각 채널間混信방지 혹은 광신경 회로망 구현에 가중치 인식 등)에 부합하는 最適 설계에 대해서는 紙面 제한上, 시뮬레이션(simulation) 결과와 함께 다음 기회에 論議하기로 한다.

1. A.Himeno and Y.Shimazu, "All-optical control circuits for photonic switching" in Photonic Switching, 1991, Technical Digest Series(Optical Society of America, Washington, DC 1988), paper ThC1-1.
2. 신상영, "광연결 기술", 光선입자수 개발사업을 위한 조사연구, 과학기술처, UCQ23-4108-4, 1991.
3. 배우석, "신경회로망의 광學의 구현에 관한 小稿", 전자 공학회지 신경회로망 및 카지 특집, 10월 발간예정, 1991.
4. N.V.Kukhtarev et al., "Holographic storage in electrooptic crystals, I, Steady state", Ferroelectrics 22, 9-49, 1979.
5. H.Lee and W.S.Baek, "Steady state space charge fields in photorefractive materials for volume holographic interconnections", J.Appl.Phys. 66, 1908, 1989.
6. W.S.Baek and H.Lee, "Photorefractive intermode space charge fields in volume holographic interconnections", J.Appl. Phys. 67, 1194, 1990.
7. H.Lee, X. Gu and D.Psaltis, "Volume holographic interconnections with maximal capacity and minimal cross talk", J.Appl.Phys. 65, 2191, 1989.
8. P.Gunter, "Holography, coherent light amplification and optical phase conjugation with photorefractive materials", Phys.Reports 93, 199, 1982.
9. J.J.Amodi, "Analysis of transport processes during holographic recording in insulators", RCA Rev. 32, 185, 1971.
10. Ph.Refrégier et al., "Two-beam coupling in photorefractive BSO crystals with moving gratings: Theory and experiments", J.Appl.Phys. 58, 45, 1988.
11. M.G.Moharam et al., "Holographic grating formation in photorefractive crystals with arbitrary electron transport lengths", J.Appl.Phys. 50, 5642, 1979.

12. S.I.Stepanov et al., "Running holograms in photorefractive BSO crystals", Optics Commun. 44, 19, 1 982.
13. L.B.Au and L.Solymer, "Space charge field in photorefractive materials at large modulation", Opt.Lett. 13, 660, 1988.



白雲植(Woon Sik BAEK) 正會員
1957年3月13日
1979年2月：慶熙大學校 電子工學科
卒業(學士)
1981年2月：延世大學院 電子工學科 卒業
(碩士)
1990年：日本 Polytechnic Institute of
New York 電氣工學科 (Ph.D)
1981年7月-1984年7月：海軍士官學校
電子工學科 教官(專任講師)
1990年~現在：現代電子產業株式會社 崔葉電子研究所 責任研
究員
※研究關心分野：光信號 以 情報處理, 光神經回路網(OPTI
CAL NEURAL NETWORK), 光通信(光分選,
光交換(PHOTONIC SWITCHING) 等